

بِسْمِ اللَّهِ الرَّحْمَنِ الرَّحِيمِ



دانشکده مهندسی مکانیک

مدل‌سازی و ساخت نانو کامپوزیت پلیمر / خاک رس

دانشجو:

سید احسان سنبلستان

پایان‌نامه برای دریافت درجه کارشناسی ارشد
در رشته مهندسی مکانیک گرایش طراحی کاربردی

استاد راهنما:

دکتر محمود مهرداد شکریه

تقدیم به:

خانواده دلسوزم

تشکر و قدردانی:

بدینوسیله از راهنمایی و یاری بی دریغ جناب آقای دکتر شکریه و کمکهای دائمی جناب آقای دکتر کفاسی کمال تشکر و قدردانی انجام می‌گیرد.

از خانم مهندس پورسنگ و آقای مهندس فخار به خاطر همراهیشان در راستای پروژه سپاسگذاری می‌شود. که نتیجه حاصله مدیون همکاری صمیمانه این دوستان می‌باشد.

همچنین، از آزمایشگاههای دانشگاه تهران، دانشگاه تربیت مدرس، دانشگاه اصفهان و مرکز زمین‌شناسی ایران به خاطر انجام آزمایش‌های شناسایی ساختار تشکر به عمل می‌آید.

از مؤسسه کامپوزیت ایران به خاطر تقبل هزینه‌های مالی پروژه قدردانی می‌شود.

چکیده

حصول ویژگیهای خاص مواد نانوکامپوزیت، به عنوان یکی از کاربردی‌ترین زمینه‌ها در انقلاب فناوری نانو، ناشی از وجود مؤلفه‌هایی در حد نانو در سیستم آنها می‌باشد. نوع نانوذرات پرکننده کامپوزیت و نوع پلیمر مؤلفه زمینه آن از عوامل بسیار تأثیرگذار در خواص نهایی نانوکامپوزیت می‌باشند. در این تحقیق، با شناخت کافی و ارائه توجیهات مناسب، نوع ویژه‌ای نانوچاک رس و پلی‌بورتان به عنوان پرکننده و زمینه انتخاب شده‌اند. جهت شناسایی مواد مناسب از آزمایشات فرآکنی اشعه ایکس و ویسکومتری استفاده شده است. با توجه به پیچیدگیها و هزینه‌های زیاد آزمایشات و نتایج تجربی، تکنیکهای مدلسازی برای محاسبه خواص مکانیکی نانوکامپوزیتها پلیمری مسئله‌ای مناسب برای این مواد پیشرفت و نو می‌باشند. با وجود روش‌های متنوع، در این تحقیق، روش‌های تحلیلی و عددی برای پیش‌بینی خواص استفاده شده‌اند. روش‌های مدل‌ویت، مدل ریوس، اشلبی رقیق، موری تاناکا، هالپین تسای، مدل خودسازگاری به عنوان روش‌های تحلیلی استفاده شده‌اند. در کنار مدل‌هایی به کار گرفته شده برای پیش‌بینی خواص مکانیکی نانوکامپوزیتها، مدل مرزی نیز در این تحقیق برای اولین بار برای نانوکامپوزیتها استفاده شد. مطابقت خوب این مدل با مدل‌های دیگر مناسب بودن این روش را نشان می‌دهد. روابط مربوط به ساختار تشکیلی نانوذرات نیز ارائه شده‌اند. در این مدل‌ها اثرات پارامترهای درصد حجمی‌چاک رس، نسبت منظری ذرات و نسبت مدول الاستیسیته ذرات به زمینه بر روی خواص مکانیکی نانوکامپوزیت بررسی شده‌اند. مدل عددی ارائه شده در این تحقیق، مدل المان محدود می‌باشد. در این مدل اثرات رویهم رفتگی ذرات، فاصله افقی بین ذرات، طول ذرات و درصد حجمی‌چاک رس بر روی خواص مکانیکی نانوکامپوزیت بررسی شده‌اند. نتایج حاصل از هر دو مدل با هم مقایسه می‌شوند و صحت نتایج با قیاس بین داده‌های تجربی و محاسبه شده نشان داده می‌شود. چند عامل محدودکننده استفاده از این پارامترهای مؤثر نیز مورد بررسی قرار گرفتند.

فهرست مطالب

صفحه

عنوان

فصل ۱ مقدمه	
۱	
۲	۱-۱. مقدمه کلی.....۱
۴	۲-۱. مقدمه‌ای برنانوفناوری.....۱
۴	۲-۲-۱. نانوفناوری.....۱
۵	۲-۲-۲. تاریخچه نانوفناوری.....۱
۸	۳-۲-۱. تعریف نانوفناوری.....۱
۹	۳-۲-۲. نانوکامپوزیت.....۱
۹	۱-۳-۱. مقدمه ای بر نانوکامپوزیت.....۱
۹	۲-۳-۱. تعریف نانوکامپوزیت‌ها.....۱
۱۱	۳-۳-۱. تقسیم بندی مواد نانوکامپوزیت.....۱
۱۲	۴-۳-۱. کاربردهای نانوکامپوزیت‌های پلیمری.....۱
۱۶	۵-۳-۱. مزایا و معایب نانوکامپوزیت‌ها.....۱
۱۸	فصل ۲ ساخت نانوکامپوزیت و آزمایشات
۱۹	۱-۲. مقدمه.....۲
۲۰	۲-۲. سیلیکات لایه‌ای.....۲
۲۰	۱-۲-۲. ساختار و خواص سیلیکات لایه‌ای.....۲
۲۲	۲-۲-۲. ساختار و خواص سیلیکات لایه‌ای اصلاح شده.....۲
۲۴	۳-۲. پلی‌یورتان.....۲
۲۴	۱-۳-۲. مقدمه.....۲
۲۴	۲-۳-۲. معرفی پلی‌یورتانها.....۲

۲۵	۳-۳-۲. شیمی‌الاستومرهای پلی‌بورتان
۲۷	۲-۳-۲. پلی‌بورتان ترمومپلاستیک
۲۸	۲-۴. نانوکامپوزیتهای سیلیکات لایه‌ای / پلیمر
۲۸	۲-۴-۲. انواع نانوکامپوزیتهای سیلیکات لایه‌ای / پلیمر
۳۰	۲-۴-۲. روش‌های ساخت نانوکامپوزیت‌های پلیمر - خاک رس
۳۴	۲-۵. نانوکامپوزیتها بر پایه پلی‌بورتان
۳۵	۲-۶. روش ساخت پیشنهادی برای نانوکامپوزیت پلی‌بورتان / خاک رس
۳۵	۲-۶-۲. مقدمه
۳۶	۲-۶-۲. مواد پیشنهادی و روش ساخت
۳۸	۲-۷. انتخاب نانوخاک رس مناسب
۳۸	۲-۷-۲. مقدمه
۴۱	۲-۷-۲. آزمایشات ویسکومتری
۴۷	۳-۷-۲. آزمایشات WXRD

فصل ۳ مدلسازی به روش تحلیلی

۴۹	
۵۰	۱-۳. مقدمه
۵۱	۲-۳. مروری بر مدلسازی خواص مکانیکی نانوکامپوزیت پلیمری
۵۱	۱-۲-۳. نگاهی بر روش‌های مدلسازی
۵۳	۲-۲-۳. روش‌های پیوستگی
۵۷	۳-۲-۳. مدلسازی ملکولی
۵۷	۳-۳. آشنایی با مدلسازی نانوذرات خاک رس
۵۷	۱-۳-۳. انواع نحوه توزیع نانو خاک رسها در ماتریس
۶۰	۲-۳-۳. مدلسازی نانوخاک رس لایه‌لایه شده
۶۳	۳-۳-۳. مدلسازی نانو خاک رس به شکل توده ای
۷۵	۴-۳-۳. ایجاد ناحیه بین فازی در نانوکامپوزیتهای پلیمر / خاک رس
۷۶	۴-۳. مدلسازی تحلیلی نانوکامپوزیتهای پلیمر / خاک رس
۷۶	۱-۴-۳. تعاریف اولیه
۸۳	۲-۴-۳. مدل ویت
۸۴	۳-۴-۳. مدل ریوس
۸۵	۴-۴-۳. مدل اشلبی رقیق
۸۶	۵-۴-۳. مدل مروری - تاناکا
۸۶	۶-۴-۳. مدل خود سازگار
۸۷	۷-۴-۳. مدل‌های مرزی
۸۸	۸-۴-۳. مدل هالپین - تسای

۸۹	۳-۳. بررسی اثرات پارامترهای مختلف
۸۹	۳-۴. اثر نسبت حجمی
۹۰	۳-۵. اثر نسبت منظری
۹۱	۳-۶. اثر نسبت سفتی ذرات به ماتریس

فصل ۴ مدلسازی به روش عددی

۹۳	۴-۱. مقدمه
۹۴	۴-۲. استراتژی طرح مسئله
۹۴	۴-۳. ویژگیهای کلی مدلهاي المان محدود
۹۹	۴-۴. انتخاب شرایط مرزی مناسب
۱۰۰	۴-۵. شرح مدل کلی جهت بررسی پارامترهای مؤثر روی رفتار نانوکامپوزیتها
۱۰۲	۴-۶. مطالعه موردی و بررسی اثرات پارامترهای مختلف بر روی خواص نانوکامپوزیت
۱۰۷	۴-۷. مقدمه
۱۰۷	۴-۸. اثر درصد نسبی حجم خاک رس
۱۱۰	۴-۹. اثر نسبت منظری
۱۱۱	۴-۱۰. اثر روی هم رفتگی ذرات
۱۱۲	۴-۱۱. اثر فاصله افقی بین لایه های خاک رس

فصل ۵ ارزیابی و مقایسه نتایج

۱۱۵	۵-۱. مقدمه
۱۱۶	۵-۲. مقایسه اثرات تغییر درصد حجمی خاک رس
۱۱۶	۵-۳. انتقال بار به ذرات خاک رس
۱۲۰	۵-۴. بررسی کمانش ذرات
۱۲۱	

فصل ۶ نتیجه‌گیری و پیشنهادات

۱۲۴	۶-۱. نتیجه گیری
۱۲۵	۶-۲. پیشنهادات
۱۲۶	

مراجع

۱۲۸	
۱۳۲	

پیوست

فهرست اشکال

عنوان

صفحه

شکل ۱-۱. یک نانومترچه اندازه ای میباشد؟	۵
شکل ۱-۲. تفاوت نوع توزیع و نظم قرار گیری سطوح در نانوکامپوزیتها	۱۰
شکل ۱-۳. نمونه از کاربرد نانوکامپوزیت پلیمر / خاک رس در خودرو	۱۴
شکل ۱-۴. مومهای نانوکامپوزیت جهت بسته بند	۱۵
شکل ۲-۱. ساختار شبیه سیلیکات ۲:۱	۲۲
شکل ۲-۲. آرایش یونهای آلکیل آمونیوم در سیلیکاتهای لایه ای از نوع میکا با شارژهای مختلف لایه ای	۲۴
شکل ۲-۳. فرمولاسیون منومر یورتان	۲۵
شکل ۲-۴. ساختار شیمیایی بوتان دی ال ۱،۴ و موکا	۲۷
شکل ۲-۵. نحوه عمل زنجیر گستراندها را روی پیش پلیمر	۲۷
شکل ۲-۶. شکل شماتیک سه نوع مختلف نانوکامپوزیتها سیلیکات لایه ای / پلیمری	۲۹
شکل ۲-۷. (الف) مراحل مختلف فرآیند پلیمره شدن درجا (ب) نمایی از پلیمره شدن درجا	۳۰
شکل ۲-۸. (الف) مراحل مختلف فرآیند محلول (ب) نمایش فرآیند محلول	۳۲
شکل ۲-۹. نمایش مراحل مختلف تولید نانوکامپوزیت به روش مذاب	۳۳
شکل ۲-۱۰. نحوه آماده کردن قالب	۳۷
شکل ۲-۱۱. نحوه مخلوط کردن توسط همزن الکتریکی	۳۸
شکل ۲-۱۲. نحوه ریختن مواد در قالب	۳۸
شکل ۲-۱۳. میزان پایداری محلول PTMG و نانوخاک رس پس از یک مدت زمان معین	۴۰
شکل ۲-۱۴. منحنی انرژی ذخیره شده و انرژی بازیابی کشسان	۴۱
شکل ۲-۱۵. دستگاه تربیو متري	۴۲

شکل ۴-۱. مدل و نحوه قرار گرفتن ذرات برای یافتن شرایط مرزی مناسب ۱۰۱
شکل ۳-۱. شماتیک پروسس توسعه تئوری و اصلاح تئوری ۵۱
شکل ۳-۲. اندازه زمانی و طولی استفاده شده در محاسبه خواص مکانیکی نانو کامپوزیتهای پلیمری ۵۲
شکل ۳-۳. دیاگرام تکنیکهای مدلسازی مواد ۵۳
شکل ۳-۴. انواع کامپوزیت پلیمر / خاک رس ۵۸
شکل ۳-۵. شکل شماتیک از نواحی ذره و ماتریس ۵۹
شکل ۳-۶. شکل مدلهای لایه نانو خاک رس (الف) دو بعدی ، (ب) سه بعدی ۶۰
شکل ۳-۷. ساختار کربستالی مونتموریلوبونیت ۶۱
شکل ۳-۸. شماتیکی از (الف) سیستم جا داده شده و لایه لایه شده (ب) توده خاک رس جا داده شده ۶۴
شکل ۳-۹. شماتیکی از ساختار شناسی و پارامترهای رفتاری ۶۵
شکل ۳-۱۰. تصویر TEM و انانلیز روی آن ۶۷
شکل ۳-۱۱. ساختار بنیادی نانو خاک رس ۶۸
شکل ۳-۱۲. وابستگی کسر حجمی سیلیکات ذره X به پارامترهای ساختاری N و $d_{(001)}$ / d_s ۷۰
شکل ۳-۱۳. وابستگی f_p / W_c به پارامترهای ساختاری N و $d_{(001)}$ / d_s ۷۲
شکل ۳-۱۴. المان بازتولید شده جداده شده نانو لایهای خاک رس ۷۳
شکل ۳-۱۵. نانو کامپوزیتهای کاملاً لایه لایه شده با ناحیه بین فازی ۷۵
شکل ۳-۱۶. مسئله مقطع اشلبی ۷۹
شکل ۳-۱۷. مقطع بیضوی با شعاعهای a_1 ، a_2 و a_3 ۸۰
شکل ۳-۱۸. مسئله مقطع معادل (الف) مقطع همجنسب (ب) ناهمجنسب ۸۳
شکل ۳-۱۹. تغییرات مدول الاستیسیته (E_{11} / E_m) بر حسب کسر حجمی ذرات نانو خاک رس ۹۰
شکل ۳-۲۰. تغییرات مدول الاستیسیته (E_{11} / E_m) بر حسب نسبت منظری ذرات ۹۱
شکل ۳-۲۱. تغییرات مدول الاستیسیته (E_{11} / E_m) بر حسب نسبت سفتی ذرات به ماتریس ذرات ۹۲
شکل ۲-۱۶. تغییرات مدول ذخیره ای دربرابر افزایش کرنش ۴۳
شکل ۲-۱۷. تغییرات مدول اتلافی دربرابر افزایش کرنش ۴۳
شکل ۲-۱۸. تغییرات مدول ذخیره ای دربرابر افزایش کرنش با افزایش درصد جرمی نانو خاک رس ۴۴
شکل ۲-۱۹. تغییرات مدول اتلافی دربرابر افزایش کرنش با افزایش درصد جرمی نانو خاک رس ۴۴
شکل ۲-۲۰. تغییرات مدول ذخیره ای تحت افزایش فرکانس برای نانو خاک رسهای مختلف ۴۵
شکل ۲-۲۱. تغییرات مدول اتلافی تحت افزایش فرکانس برای نانو خاک رسهای مختلف ۴۵
شکل ۲-۲۲. تغییرات ویسکوزیته تحت افزایش فرکانس برای نانو خاک رسهای مختلف ۴۶
شکل ۲-۲۳. تغییرات ویسکوزیته در برابر نرخ برنشی برای درصدهای وزنی مختلف نانو خاک رس ۴۶
شکل ۲-۲۴. نتایج آزمایش WXRD برای ترکیب نانو خاک رسهای مختلف با PTMG ۴۸

شکل ۴-۲. کانتورهای تغییر مکان مربوط به شرایط مرزی انتخاب شده،	۱۰۳
شکل ۴-۳. شکلهای شماتیک از مدل تهیه شده و معرفی پارامترهای مختلف.	۱۰۴
شکل ۴-۴. شکل شماتیک مدلها برای درصد نسبی حجم خاک رس	۱۰۷
شکل ۴-۵. تغییرات نسبی مدلهای الاستیسیته بر حسب درصد حجمی خاک رس در نانوکامپوزیت	۱۰۹
شکل ۴-۶. شکل شماتیک مدلها برای نسبت منظری	۱۱۰
شکل ۴-۷. تغییرات نسبی مدلهای الاستیسیته بر حسب نسبت منظری ذرات در نانوکامپوزیت	۱۱۱
شکل ۴-۸. شکل شماتیک مدلها برای ضریب رویهم رفتگی	۱۱۲
شکل ۴-۹. تغییرات نسبی مدلهای الاستیسیته E_{11} / E_m بر حسب ضریب رویهم رفتگی	۱۱۲
شکل ۴-۱۰. شکل شماتیک مدلها برای فاصله افقی بین ذرات	۱۱۳
شکل ۴-۱۱. تغییرات نسبی مدلهای الاستیسیته بر حسب فاصله افقی بین ذرات در نانوکامپوزیت	۱۱۴
شکل ۵-۱. برای نسبتهای حجمی مختلف از روش‌های تئوری، المان محدود و تجربی	۱۱۷
شکل ۵-۲. محاسبه شده از مدلهای تئوری و عددی با فرض ذرات خاک رس ۴ لایه‌ای	۱۱۹
شکل ۵-۳. اثر نسبت منظری توزیع کرنش ذره (ε_m) به ازای اعمال تنش محوری ۲۵۰ kPa	۱۲۱

فهرست جداول

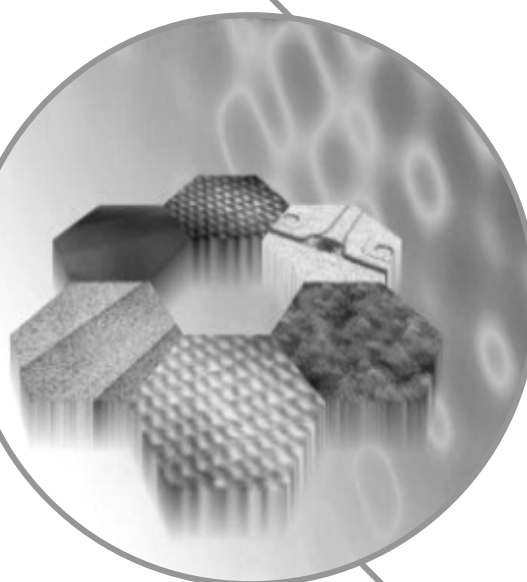
جدول ۱-۱. لیست برخی از تأمین کنندگان مواد نانوکامپوزیت [۴۶]	۱۳
جدول ۱-۲. فرمول شیمیایی و پارامترخواص معمولی قابل استفاده شبه سیلیکات ۱:۲ [۱۵]	۲۲
جدول ۲-۱. علامت اختصاری و فرمول شیمیایی مهمترین دی ایزو سیاناتها	۲۶
جدول ۲-۲. انواع مختلف کلویزیت ها همراه با ساختار شیمیایی	۳۹
جدول ۳-۱. خواص الاستیک محاسبه شده برای تک لایه سیلیکات	۶۳
جدول ۳-۲. خواص مربوط به نمونه بررسی شده در مدلهای مختلف تحلیلی	۸۴
جدول ۳-۳. پارامترهای هالپین-تسای	۸۹
جدول ۴-۱. استراتژی طرح مسئله	۹۷
جدول ۴-۲. خواص مربوط به نمونه بررسی شده در مدل عددی برای کسب شرایط مرزی مناسب	۱۰۰
جدول ۴-۳. انواع شرایط مرزی تحلیل شده برای یافتن شرایط مرزی مناسب	۱۰۱
جدول ۴-۴. ماتریسهای سفتی و نرمی و خواص مکانیکی برای مدل همراه با انواع شرایط مرزی تحلیل شده	۱۰۲
جدول ۴-۵. خواص مربوط به نمونه بررسی شده در مدل عددی برای کسب شرایط مرزی مناسب	۱۰۶
جدول ۴-۶. نتایج مربوط به مدلسازی عددی برای بررسی تأثیر پارامترهای مناسب	۱۰۸
جدول ۵-۱. خواص مربوط به نمونه جهت مقایسه نتایج روشهای مختلف	۱۱۷
جدول ۵-۲. خواص ذرات خاک رس با ۴ لایه سیلیکات	۱۱۹
جدول ۵-۳. کرنش بحرانی در آستانه کمانش لایه های خاک رس به ازای درصدهای حجمی مختلف	۱۲۲

فهرست علائم اختصاری

λ	طول موج اشعه X خارج شده در ازمایش WXRD
G'	مدول ذخیره
G''	مدول اتلافی
E_i	مدول الاستیسیته در جهت i
G_{ij}	مدول برشی در صفحه i و j
V_{ij}	نسبت پوآسون
t	ضخامت ذره خاک رس
N	تعداد لایه های سیلیکات در ذره خاک رس
$d_{(001)}$	فاصله بین دو لایه سیلیکات در یک ذره
d_s	ضخامت یک لایه سیلیکات
X_N	تعداد ورقه های سیلیکات در واحد ضخامت ذره
$V_{silicate}$	حجم مربوط به ورقه های سیلیکات
V_p	حجم مربوط ذرات مؤثر
L	طول ذره خاک رس
f_p	کسر حجمی خاک رس
W_p	وزن ذرات خاک رس
ρ_p	دانسیته ذرات خاک رس
$\rho_{silicate}$	دانسیته لایه های سیلیکات
X	کسر حجمی لایه های سیلیکات
M_0	وزن ملکولی لایه های سیلیکات
A_0	سطح لایه های سیلیکات
σ_{ij}	مؤلفه تانسور تنش
ε_{ij}	مؤلفه تانسور کرنش
σ^P	تنش اعمال شده بر ذره خاک رس
C^P	ماتریس سفتی مربوط به ذره خاک رس

ε^P	کرنش اعمال شده بر ذره خاک رس
σ^m	تنش اعمال شده بر ماتریس
C^m	ماتریس سفتی مربوط به ماتریس
ε^m	کرنش اعمال شده بر ماتریس
$\bar{\sigma}$	تنش میانگین بر واحد حجم
$\bar{\varepsilon}$	کرنش میانگین بر واحد حجم
V_m	حجم ماتریس در ماده نانوکامپوزیت
f_m	کسر حجمی ماتریس
S	تانسور نرمی
A	تانسور ساختاری کرنش
B	تانسور ساختاری تنش
\hat{A}	تانسور ساختاری تغليظ شده کرنش
ε^C	کرنش یکنواخت در یک مقطع
ε^T	کرنش انتقالی یا کرنش ویژه
E_{ijkl}	تانسور اشلبی
C^{Voigt}	ماتریس سفتی مربوط به ماده نانو کامپوزیت مطابق با مدل ویت
S^{Reuss}	ماتریس نرمی مربوط به ماده نانو کامپوزیت مطابق با مدل ریوس
$A^{Eshelby}$	تانسور ساختاری کرنش مطابق با مدل اشلبی رقيق
A^{MT}	تانسور ساختاری کرنش مطابق با مدل موری - تاناکا
A^{SC}	تانسور ساختاری کرنش مطابق با مدل خودسازگاری
\hat{A}^{lower}	تانسورهای ساختاری کرنش مربوط به مرز پایینی
\hat{A}^{upper}	تانسورهای ساختاری کرنش مربوط به مرز بالایی
f_s	ضریب رویهم رفتگی ذرات
$Offset$	فاصله بین دو ذره روی سر هم
B	پهنهای یک سلول واحد
h	فاصله عمودی بین ذرات
h_{\max}	حداکثر فاصله عمودی بین ذرات
f_X	ضریب لایه لایه شدگی
τ	ضخامت ناحیه بین فازی
ε_{crit}	کرنش بحرانی در کمانش ذرات

فصل الأول



العنوان

۱-۱. مقدمه کلی

دنیای امروز پس از طی کردن سالیان دراز و اندوختن تجربه‌های زیاد، توانسته فناوریهای زیادی را به بشر تقدیم کند. این تلاشها در کسب فناوریها در جهت خدمت به بشر و فراهم کردن زندگی مطلوب‌تر، هر روز مسیر جدیدی را می‌یابد. جهان امروز با مفهوم جدید «نانوفناوری» روبرو می‌باشد. فناوری که دید خود را از سطوح ماکرو به حد ملکول و اتم ریز کرده است. آن از نیروهای بین ملکولی و چیدمان دلخواه اتمها صحبت به میان آورده است. هر روز که می‌گذرد، پدیده‌ای جدید به جهانیان معرفی می‌شود و پس از کمی‌کنکاش نانوفناوری در پشت آن دیده خواهد شد. بخش مواد و به دنبال آن تعاریف مکانیکی ماده از زمینه گسترانده شده توسط نانوفناوری در امان نبوده و حال در پیشرو مواد نام «نانوکامپوزیت» را می‌توان دید.

نانوکامپوزیتها، در دهه آخر قرن بیستم به عنوان زمینه جدیدی وارد عرصه علم و فناوری کامپوزیتها شدند. کامپوزیتها خود نیز سالیان زیادی از عمرشان نمی‌گذرد اما با سرعت رو به رشد علم و فناوری حال در کنار خود نانوکامپوزیتها را می‌بینند. تفاوت نانوکامپوزیتها با هم‌خانواده خود کامپوزیت، وجود مؤلفه‌هایی در حد نانو در سیستم نانوکامپوزیتها می‌باشد. این تفاوت که ساده به نظر می‌رسد موجب خواص فوق العاده از جمله مدول الاستیسیته بالا، استحکام کششی بالا، مقاومت گرمایی بالا، کاهش قابلیت نفوذ پذیری گاز، کاهش قابلیت اشتعال پذیری و افزایش تجزیه پذیری پلیمر جهت موارد زیست محیطی می‌شود. آنچه که واقعاً در سطح ملکولها می‌گذرد که باعث این خواص چشمگیر می‌شود، موضوعی است که علاقه‌مندیهای بسیاری از دانشمندان را به سمت خود جلب کرده است. ولی می‌توان گفت ایجاد یک سری پیوندهای شیمیایی بین دو فاز موجود در نانوکامپوزیتها به دلیل سطح فوق العاده زیاد یکی از مؤلفه‌ها غیر قابل تردید

می باشد. آن همان چیزی است که باعث خواص بهینه تر نسبت به کامپوزیتها همراه با اتصال فیزیکی بین دو فاز می شود.

تغییر در ترکیب و ساختار مواد در مقیاس نانومتری و ارائه خواص ویژه و بی نظیر نسبت به مواد کامپوزیتی موجب شده که در ده سال اخیر پیشرفت قابل توجهی در این زمینه صورت گرفته است و فناوریهای پیشرفت‌های در ساخت ذرات نانومتری برای به کارگیری در نانوکامپوزیتها به عنوان مؤلفه دوم ارائه شده است که شاهراه بزرگی را برای تولید مواد کامپوزیت جدید با خواص ویژه باز کرده است. در میان نانوپودرها، نانو ذرات با نسبت منظری بالا عاملهای تقویت کننده خوبی برای مواد پلیمری می باشند. در میان همه این کامپوزیت‌های تقویت شده با نانوذرات، سیستمهای حاوی ذرات خاک رس به طور وسیعی استفاده شده اند. در این مدت، نه چندان طولانی که از کشف خواص ذرات نانوخاک رس به عنوان تقویت کننده می گذرد، تحقیقات زیادی در مورد آنها انجام شده است. بیشتر تحقیقات صورت گرفته به خاطر جدید بودن، به صورت تجربی بوده و سعی بر جمع آوری داده های تجربی در این زمینه شده است.

در میان پلیمرها، پلیمر پلی‌یورتان محصولاتی نرم تا فوق العاده سخت را شامل می‌شود. پلی‌یورتانها می‌توانند موادی مستحکم و مقاوم در برابر سایش باشند. به همین جهت در این تحقیق از پلی‌یورتان به عنوان فاز زمینه استفاده شده است. ترکیب نانوذرات و پلیمر برای داشتن یک نانوکامپوزیت به عنوان هدف روشهای خاصی دارد. هر کدام از این روشهای مشکلات و فواید خود را دارند. در این تحقیق سعی بر بهبود روش ساخت نیز گردیده است.

هر چند که تحقیقات مبتنی بر آزمایشات می تواند به طور مناسب برای محاسبه روابط خواص- ساختار کامپوزیت‌های نانوساختاری استفاده شوند، ولی انجام آزمایشات و گرفتن خواص کامپوزیت‌های نانوساختاری از آن، روشهای پروسس و تجهیزات آزمایش پیشرفت‌ه را مطالبه می‌کند. این موضوع هزینه های زیادی را در پی دارد. بنابراین تکنیکهای مدلسازی برای محاسبه خواص مکانیکی نانوکامپوزیت‌های پلیمری مسئله‌ای دوری ناگزیر می باشد.

در این تحقیق، در ادامه همین فصل به عنوان مباحث اولیه برای ورود به این موضوع به معرفی

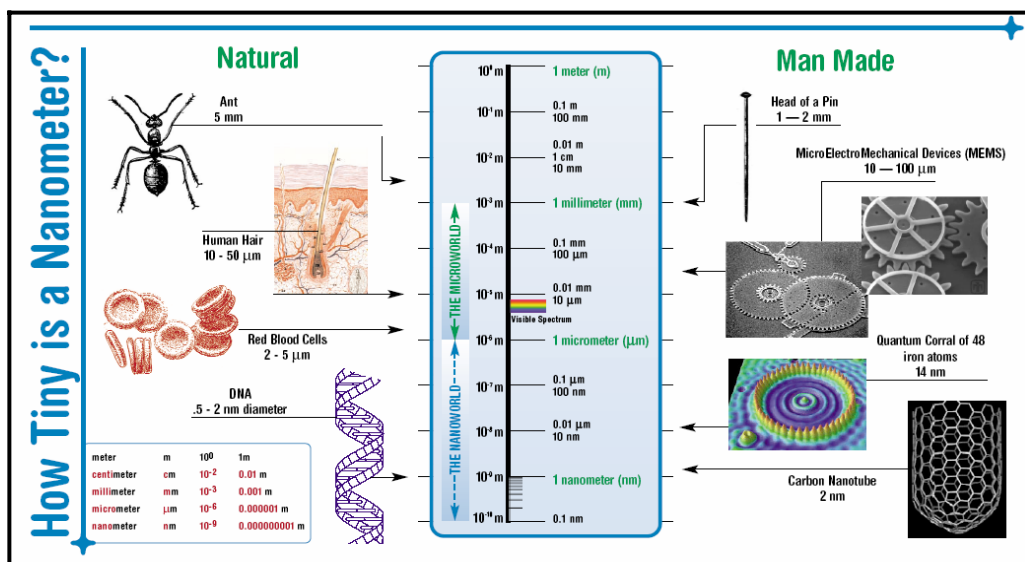
مختصری از نانوفناوری و نانوکامپوزیتها به عنوان یکی از شاخه‌های نانوفناوری پرداخته می‌شود. در این فصل تعریف، انواع، کاربرد، فواید و معایب این مواد نیز بیان شده است. در فصل دوم به شناسایی مواد تشکیل دهنده نانوکامپوزیت پلیمر(پلی‌یورتان) / خاک رس پرداخته شده است. در این قسمت دوره‌ای بر روشهای ساخت نانوکامپوزیتها آورده شده و سپس روش ساخت مطلوب‌تری ارائه شده است. در پایان فصل با انجام آزمایشات پیش ساخت، نوع نانوخاک رس مناسب برای استفاده در این روش تعیین شده است. در فصل سوم پس از آشنایی با روشهای مدلسازی نانوکامپوزیتها، روشهای میکرومکانیک تحلیلی مناسب برای مدلسازی نانوکامپوزیتها ارائه شده است. در انتهای فصل، با استفاده از معادلات حاصل از تئوریها اثرات چند پارامتر بر روی خواص مکانیکی نانوکامپوزیت ارزیابی و مقایسه شده است. در فصل چهارم این تحقیق، سعی بر ارائه یک مدل المان محدود از نانوکامپوزیت مورد نظر شده است. در پایان فصل اثرات پارامترهای هندسی را بر خواص مکانیکی نانوکامپوزیت آورده شده است. در فصل ارزیابی و مقایسه نتایج، داده‌های حاصل از فصلهای سوم و چهارم به همراه یک سری از داده‌های تجربی مقایسه و ارزیابی می‌شوند. در انتهای این فصل نیز دو تئوری جدید برای بیان محدودیتهای موجود بر افزایش خواص توسط نانوکامپوزیتها بررسی شده اند.

۱-۲. مقدمه‌ای بر نانوفناوری

۱-۲-۱. نانوفناوری

تاکنون تنها نیروی حاکم در بین اتمها و مولکولها از طریق طبیعت مادری آنها کنترل می‌شده است. ولی بعد از سه دهه تحقیق، در حال حاضر دانشمندان توانایی کار با مولکولها و اتمها در اندازه نانو را کسب کرده‌اند و در فهم ساختارهای بنیادی این مواد نیز که شبیه به هیچ ماده‌ای در قبل نمی‌باشند توانا شده‌اند. می‌توان نانوفناوری را به عنوان جایگذاری، اندازه گیری و مدل کردن دقیق مواد با ابعاد زیر 100 نانومتر یا موادی که حدوداً شامل 400 تا 4000 اتم می‌شوند بیان نمود. برای داشتن یک دید مناسب نسبت به کوچکی این اندازه، توضیح همراه مفید می‌باشد: «یک نانومتر(یک بیلیونیم متر) برابر با $\frac{1}{75000}$ ضخامت یک تار مو

می باشد». شکل (۱-۱) نیز برای آشنایی با این اندازه ها مناسب می باشد.



شکل ۱-۱. یک نانومترچه اندازه ای میباشد؟ [۱]

بازه مقادیر زیر 10^{-9} نانومتر از آن لحاظ مهم می باشد که هنگام سروکار داشتن با این اندازه کوچک، قوانین کلاسیک فیزیک تغییر کرده و از مواد ساخته شده با استفاده از این تکنولوژی خواص آرمانی دیده می شود.

۲-۲-۱. تاریخچه نانوفناوری

تاریخچه معاصر نانوفناوری از سال ۱۹۵۹ شروع می شود. ریچارد فینمن^۱ یک فیزیکدان برنده جایزه نوبل طی یک سخنرانی عنوان کرد: «تعداد زیادی اتاق در کف وجود دارد». فینمن به حضار گفت که او قانون علمی سراغ ندارد که پیشنهاد دهد تا رفتار اتم با اتم را بیان کند. او در طی این سخنرانی به دانشمندان پیشنهاد داد که در اندازه نانو جهت جابجایی و کنترل کردن اتمهای خاص شروع به تحقیق کنند.

محققین در سطح پایین تر، این نوع تحقیقات را رها کردند و به دنبال تحقیقات خود رفته ولی در حین کار کردن مرتب به این موضوع برخورد می کردند و مشکلاتشان بیشتر می شد. تا اینکه در سال ۱۹۸۱

¹ Richard Feynman

این مرز محدودیت توسط محققین IBM شکسته شد. آنها یک وسیله به نام STM^۱ اختراع کردند که توسط آن می‌توانستند از نمونه‌ها در حد اتم نمونه برداری کنند. برای تلاششان این محققین جایزه نوبل ۱۹۸۶ را در فیزیک دریافت کردند. محققین در IBM دوباره یک جهش عمدی تر در این جهت داشتند، آنها نوع دیگری از میکروسنجها به نام AFM^۲ اختراع کردند که می‌توانست برای تحلیل و عکسبرداری از اتمهای مخصوص استفاده شود.

با این وسایل جدید، محققین از نظر دید و رفتار بین اتمی توانا شدند ولی این ابزار به طور وسیع قابل دسترسی نبود و نیز خیلی گران بودند. در همین زمان، یک گروه از محققین در دانشگاه رایس^۳ به سر گروهی ریچارد اسمالی^۴ توجه عمومی را با کشف یک مولکول به شکل توپ فوتبال از کربن به خود جلب کردند که رفتار آن با هر چیزی که قبلًا دیده شده بود فرق داشت. آن یک فولرین^۵ یا باکی بال^۶ نامیده شد. آن شامل ۶۰ اتم کربن می‌باشد که با یک وضعیت متقارن به هم متصل شده‌اند. هر نمونه به سختی دارای پهنهای یک نانومتر می‌باشد. فولرین‌ها می‌توانستند به راحتی الکتروسیته و گرمایی انتقال دهند. آنها قویتر از فولاد و سبکتر از پلاستیک بودند. این کشف، سیلی از آزمایشات را در زمینه کاربرد این مولکول از پژوهشی تا ساخت و تولید در برداشت. برای کشف فولرین، محققین آن موفق به کسب جایزه نوبل شیمی در سال ۱۹۹۶ شدند.

به طور آهسته‌تر، ولی در جایگاه و موقعیتی پایدار و مداومتر پیشرفت‌های نانوفناوری از سال ۱۹۸۰ ادامه یافت. در سال ۱۹۸۹ محققین IBM دنبال کنندگان این موضوع را با استفاده از STM وسیله‌ای که IBM چند سال زودتر ساخته بود، با سازماندهی ۳۵ اتم تکی از زنون^۷ متحیر ساختند که به صورت M-B-I- تلفظ

¹ Scanning Tunneling Microscope

² Atomic Force Microscope

³ Rice University

⁴ Richard Smalley

⁵ Fullerene

⁶ Buckyball

⁷ Xenon